

Государственное образовательное учреждение
высшего профессионального образования
Московский государственный индустриальный университет
Кафедра «Информационные системы и технологии»

ДИПЛОМНАЯ РАБОТА

по специальности «Математическое обеспечение и
администрирование информационных систем»

Беркова Андрея Николаевича

на тему

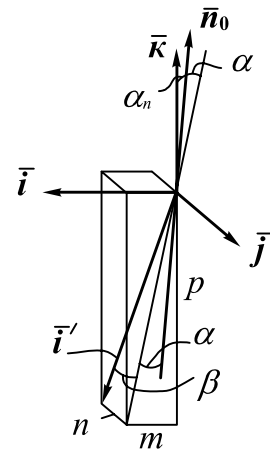
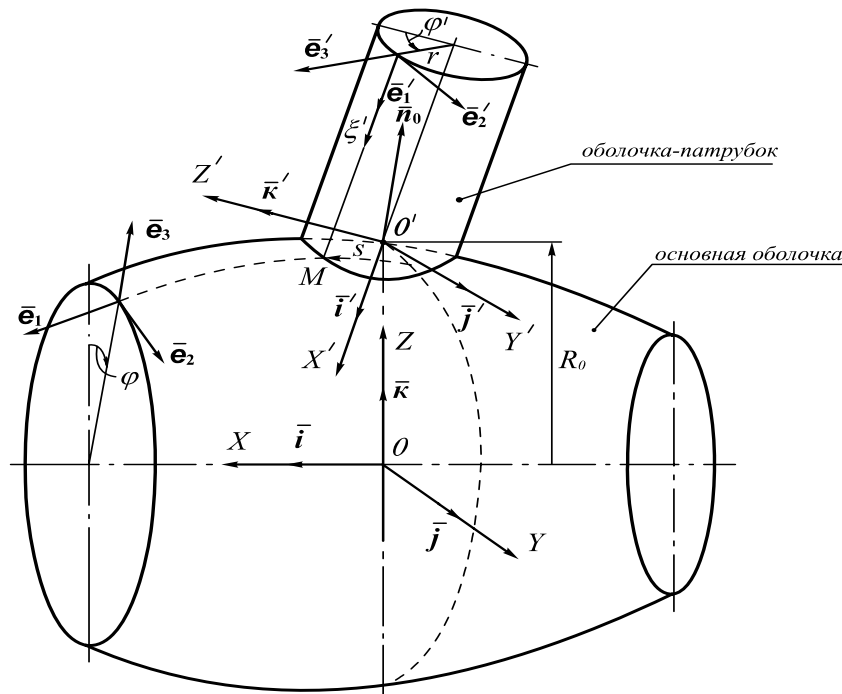
**«Исследование напряженно-деформированного состояния
двух радиально пересекающихся цилиндрических оболочек
с использованием объемных конечных элементов»**

Научный руководитель: **Скопинский В.Н., д.т.н., профессор**

Москва 2010

Целью данной работы является:

- Модернизация оболочки (SAISdata) программного комплекса SAIS
- Модернизация автоматизированного генератора двухмерной конечно-элементной модели (КЭМ) радиально пересекающихся цилиндрических оболочек для создания трехмерной КЭМ
- Разработка 8-узлового изопараметрического объемного конечного элемента
- Внедрение разработанного конечного элемента в программный комплекс SAIS

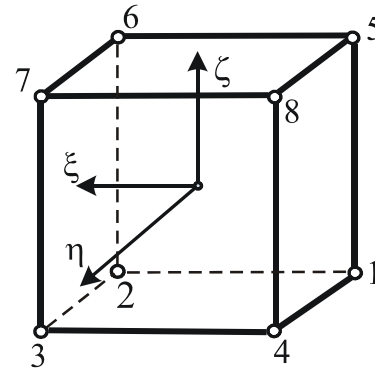
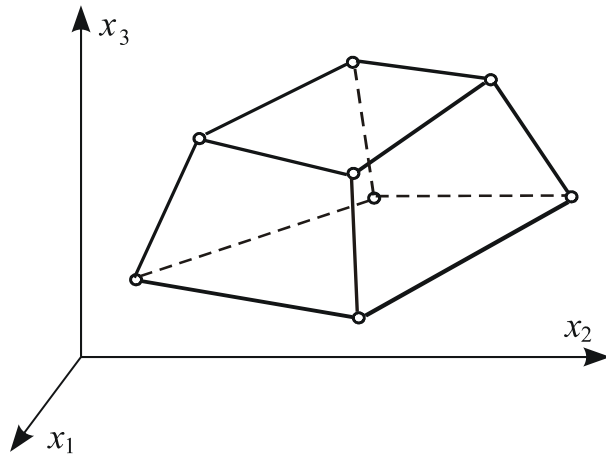


$$\mathbf{X} = \mathbf{L} \mathbf{X}' + \mathbf{X}_0 \quad (1) \quad \mathbf{X} = \{x, y, z\}^T; \mathbf{X}' = \{x', y', z'\}^T; \mathbf{X}_0 = \{x_0, y_0, z_0\}^T; \quad (2)$$

\mathbf{L} – матрица перехода от базиса \mathbf{I}' к базису \mathbf{I} ($\mathbf{I}' = \mathbf{L}^T \mathbf{I}$) $l = \sqrt{m^2 + p^2}$

$$\mathbf{i}' = m \cdot \mathbf{i} + n \cdot \mathbf{j} + p \cdot \mathbf{k}; \quad \mathbf{j}' = -\frac{nm}{l} \mathbf{i} + l \cdot \mathbf{j} - \frac{nm}{l} \mathbf{k}; \quad \mathbf{k}' = -\frac{p}{l} \mathbf{i} + \frac{m}{l} \mathbf{k}. \quad (3)$$

$$m = \sin \alpha \cdot \cos \beta; \quad n = -\sin \beta; \quad p = -\cos \alpha \cdot \cos \beta \quad (4)$$



Базисные функции (функции формы):

$$N_i = \frac{1}{8}(1 + \xi\xi_i)(1 + \eta\eta_i)(1 + \zeta\zeta_i); \quad i=1, 2, \dots, 8; \quad \xi, \eta, \zeta \in [-1; 1] \quad (5)$$

Преобразование координат

$$\begin{cases} x = \sum_{i=1}^8 N_i(\xi, \eta, \zeta) \cdot x_i, \\ y = \sum_{i=1}^8 N_i(\xi, \eta, \zeta) \cdot y_i, \\ z = \sum_{i=1}^8 N_i(\xi, \eta, \zeta) \cdot z_i. \end{cases}$$

$$(6) \quad \mathbf{N} = \begin{pmatrix} N_1 & 0 & 0 & | & N_2 & 0 & 0 & | & \dots & | & N_8 & 0 & 0 \\ 0 & N_1 & 0 & | & 0 & N_2 & 0 & | & \dots & | & 0 & N_8 & 0 \\ 0 & 0 & N_1 & | & 0 & 0 & N_2 & | & \dots & | & 0 & 0 & N_8 \end{pmatrix} \quad (7)$$

Зависимости между перемещениями, деформациями и напряжениями 5

$$\underset{3 \times 1}{\mathbf{f}} = \underset{3 \times 24}{\mathbf{N}} \cdot \underset{24 \times 1}{\boldsymbol{\delta}} \quad \underset{6 \times 1}{\boldsymbol{\varepsilon}} = \underset{6 \times 3}{\mathbf{B}} \cdot \underset{3 \times 1}{\mathbf{f}} = \underset{6 \times 3}{\mathbf{B}} \cdot \underset{3 \times 24}{\mathbf{N}} \cdot \underset{24 \times 1}{\boldsymbol{\delta}} \Rightarrow \underset{6 \times 24}{\boldsymbol{\varepsilon}} = \underset{6 \times 24}{\mathbf{C}} \cdot \underset{24 \times 1}{\boldsymbol{\delta}} \quad \underset{6 \times 1}{\boldsymbol{\sigma}} = \underset{6 \times 6}{\mathbf{D}} \cdot \underset{6 \times 1}{\boldsymbol{\varepsilon}} \quad (8)$$

$$\mathbf{B} = \begin{bmatrix} \frac{\partial}{\partial x} & 0 & 0 \\ 0 & \frac{\partial}{\partial y} & 0 \\ 0 & 0 & \frac{\partial}{\partial z} \\ \frac{\partial}{\partial y} & \frac{\partial}{\partial x} & 0 \\ 0 & \frac{\partial}{\partial z} & \frac{\partial}{\partial y} \\ \frac{\partial}{\partial z} & 0 & \frac{\partial}{\partial x} \end{bmatrix}$$

$$\mathbf{D} = \begin{bmatrix} c & b & b & | & 0 & 0 & 0 \\ b & c & b & | & 0 & 0 & 0 \\ b & b & c & | & 0 & 0 & 0 \\ \hline 0 & 0 & 0 & | & g & 0 & 0 \\ 0 & 0 & 0 & | & 0 & g & 0 \\ 0 & 0 & 0 & | & 0 & 0 & g \end{bmatrix} \quad (9)$$

$$\begin{aligned} c &= \frac{E(1-\mu)}{(1+\mu)(1-2\mu)} \\ b &= \frac{E\mu}{(1+\mu)(1-2\mu)} \\ g &= \frac{E}{2(1+\mu)} \end{aligned} \quad (11)$$

\mathbf{f} – вектор перемещений произвольной точки
 $\boldsymbol{\delta}$ – вектор перемещения узловых точек
 $\boldsymbol{\varepsilon}$ – вектор деформации произвольной точки
 $\boldsymbol{\varepsilon} = (\varepsilon_x; \varepsilon_y; \varepsilon_z; \gamma_{xy}; \gamma_{yz}; \gamma_{zx})^T$
 \mathbf{B} – матрица дифференциальных операторов
 $\boldsymbol{\sigma}$ – вектор напряжений \mathbf{D} – матрица упругости
 $\boldsymbol{\sigma} = (\sigma_x, \sigma_y, \sigma_z, \tau_{xy}, \tau_{yz}, \tau_{zx})^T$

E, μ – модуль Юнга и Коэффициент Пуассона материала

$$\mathbf{C}_i = \begin{bmatrix} \frac{\partial N_i}{\partial x} & 0 & 0 \\ 0 & \frac{\partial N_i}{\partial y} & 0 \\ 0 & 0 & \frac{\partial N_i}{\partial z} \\ \hline \frac{\partial N_i}{\partial y} & \frac{\partial N_i}{\partial x} & 0 \\ 0 & \frac{\partial N_i}{\partial z} & \frac{\partial N_i}{\partial y} \\ \frac{\partial N_i}{\partial z} & 0 & \frac{\partial N_i}{\partial x} \end{bmatrix} \quad (12)$$

$$\mathbf{C} = [\mathbf{C}_1 \quad \mathbf{C}_2 \quad \mathbf{C}_3 \quad \mathbf{C}_4 \quad \mathbf{C}_5 \quad \mathbf{C}_6 \quad \mathbf{C}_7 \quad \mathbf{C}_8] \quad (13)$$

$$\mathbf{J} \begin{pmatrix} \frac{\partial N_i}{\partial x} \\ \frac{\partial N_i}{\partial y} \\ \frac{\partial N_i}{\partial z} \end{pmatrix} = \begin{pmatrix} \frac{\partial N_i}{\partial \xi} \\ \frac{\partial N_i}{\partial \eta} \\ \frac{\partial N_i}{\partial \zeta} \end{pmatrix} = \mathbf{J}^{-1} \begin{pmatrix} \frac{\partial N_i}{\partial \xi} \\ \frac{\partial N_i}{\partial \eta} \\ \frac{\partial N_i}{\partial \zeta} \end{pmatrix} \quad (14)$$

$$\mathbf{J} = \begin{bmatrix} \sum \frac{\partial N_i}{\partial \xi} x_i & \sum \frac{\partial N_i}{\partial \xi} y_i & \sum \frac{\partial N_i}{\partial \xi} z_i \\ \sum \frac{\partial N_i}{\partial \eta} x_i & \sum \frac{\partial N_i}{\partial \eta} y_i & \sum \frac{\partial N_i}{\partial \eta} z_i \\ \sum \frac{\partial N_i}{\partial \zeta} x_i & \sum \frac{\partial N_i}{\partial \zeta} y_i & \sum \frac{\partial N_i}{\partial \zeta} z_i \end{bmatrix} \quad (15)$$

$$\begin{aligned} (d\delta^e)^T \mathbf{R}^e - \int_{V^e} (d\epsilon^e)^T \sigma^e dV = 0 \Rightarrow (d\delta^e)^T \left(\int_{V^e} \mathbf{C}^T \mathbf{D} \mathbf{C} dV \cdot \delta^e - \mathbf{R}^e \right) = 0 \Rightarrow \\ \int_{V^e} \mathbf{C}^T \mathbf{D} \mathbf{C} dV \cdot \delta^e = \mathbf{R}^e; \quad \int_{V^e} \mathbf{C}^T \mathbf{D} \mathbf{C} dV = \mathbf{K}^e \Rightarrow \mathbf{K}^e \cdot \delta^e = \mathbf{R}^e \end{aligned} \quad (16)$$

$$\mathbf{K}^e = \int_{V^e} \mathbf{C}^T (\xi, \eta, \zeta) \cdot \mathbf{D} \cdot \mathbf{C} (\xi, \eta, \zeta) dV = \int_{V^e} \mathbf{G} (\xi, \eta, \zeta) dV \quad (17)$$

Численное интегрирование методом Гаусса:

$$\int_{V^e} \mathbf{G} (\xi, \eta, \zeta) dV = \int_{-1}^1 \int_{-1}^1 \int_{-1}^1 \mathbf{G} (\xi, \eta, \zeta) |\mathbf{J}| d\xi d\eta d\zeta = \sum_{i=1}^{n_i} \sum_{j=1}^{n_j} \sum_{k=1}^{n_k} (H_i H_j H_k \mathbf{G} (\xi_i, \eta_j, \zeta_k) |\mathbf{J}|) \quad (18)$$

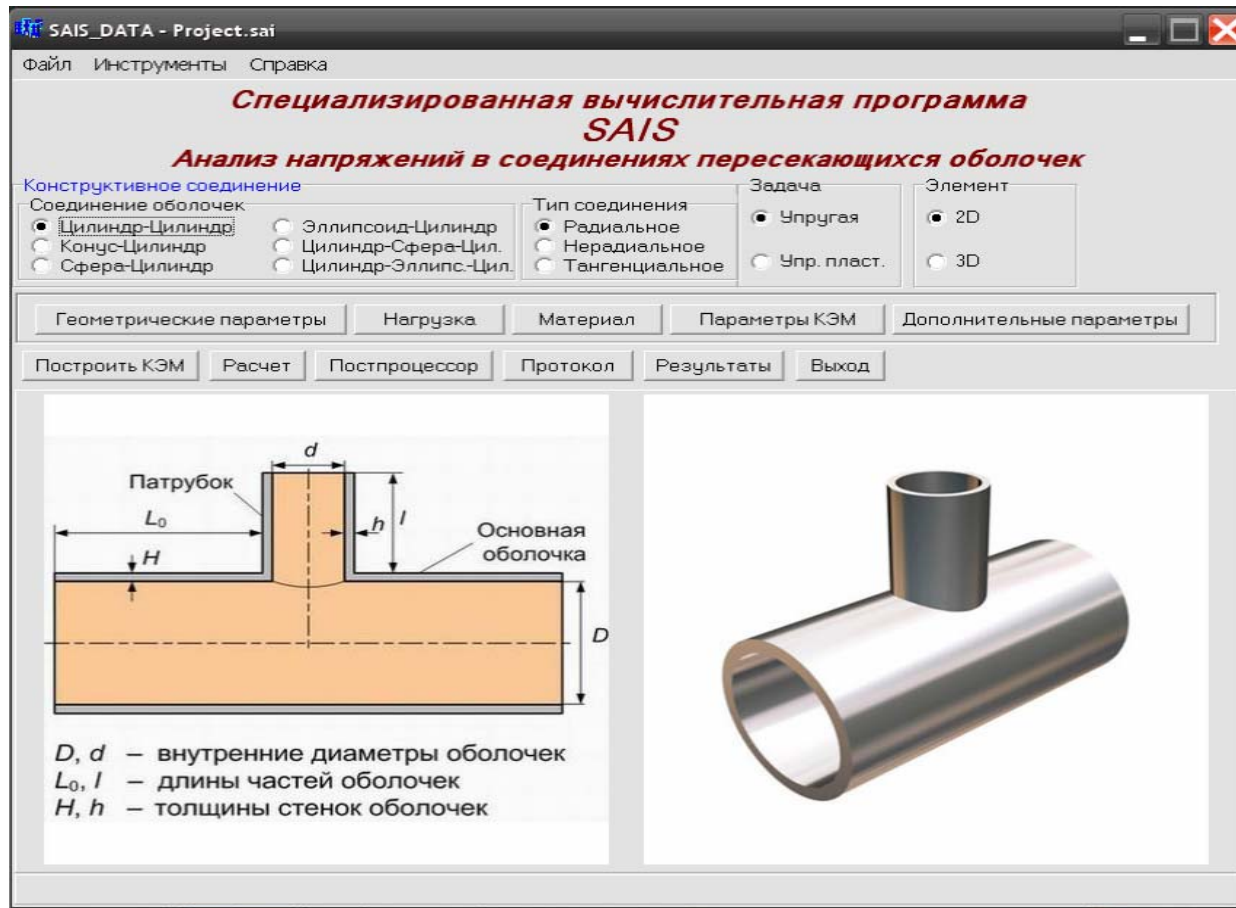
Вектор нагрузок: Поверхностные нагрузки:

$$\mathbf{F}_p^e = - \int_{V^e} \mathbf{N}^T \mathbf{p} dV \quad \mathbf{F}_q^e = - \int_{S^e} \mathbf{N}^T \mathbf{q}^e dS \quad (19)$$

Глобальная матрица жесткости:

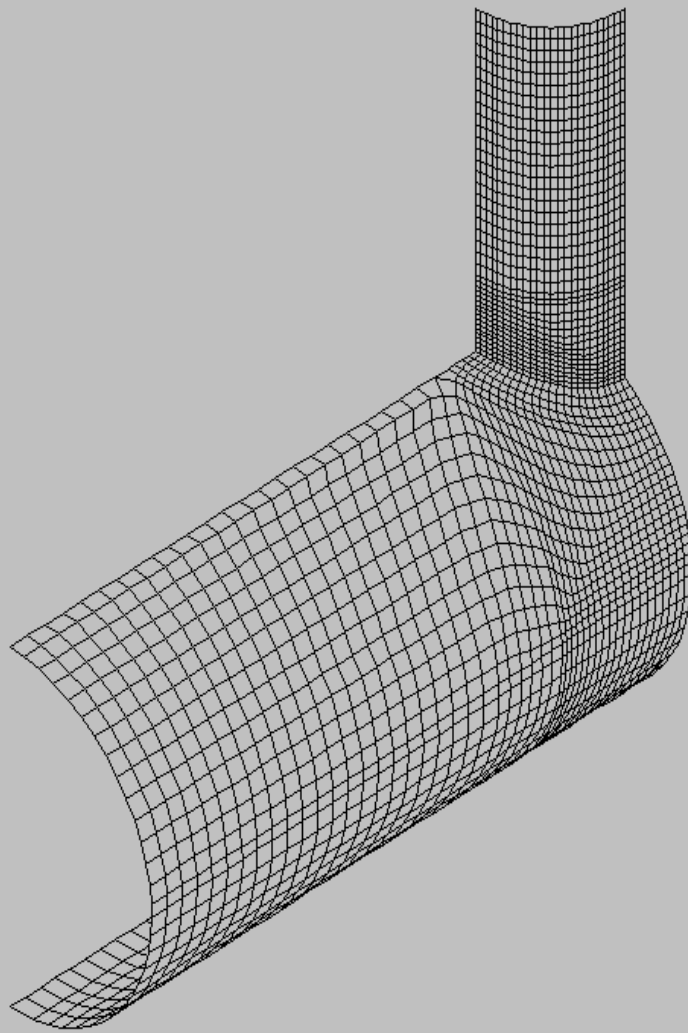
$$\mathbf{K} = \sum_e (\mathbf{a}^e)^T \mathbf{K}^e \mathbf{a}^e. \quad (20) \quad \mathbf{a}^e - \text{матрица связи номеров глобальных узлов (матрица индексов)}$$

$$\mathbf{K} \cdot \delta = \mathbf{F}. \quad (21) \quad \text{Система линейных алгебраических уравнений}$$

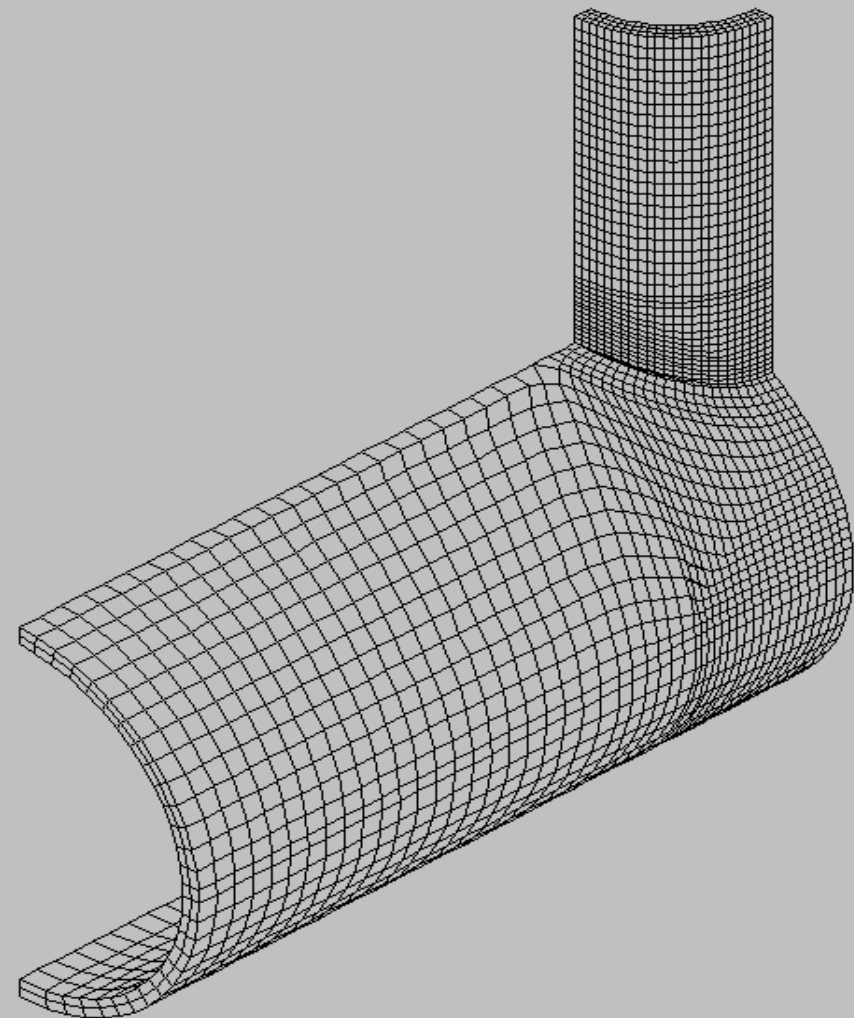


Структура вычислительной программы

- программа SAISdata — подготовка исходных данных
- модуль SAISbase — создание КЭМ соединения, формирование и решение САУ, получение линейных решений, определение НДС
- модуль SAISpost — визуализация КЭМ и результатов расчета



Двухмерная КЭМ



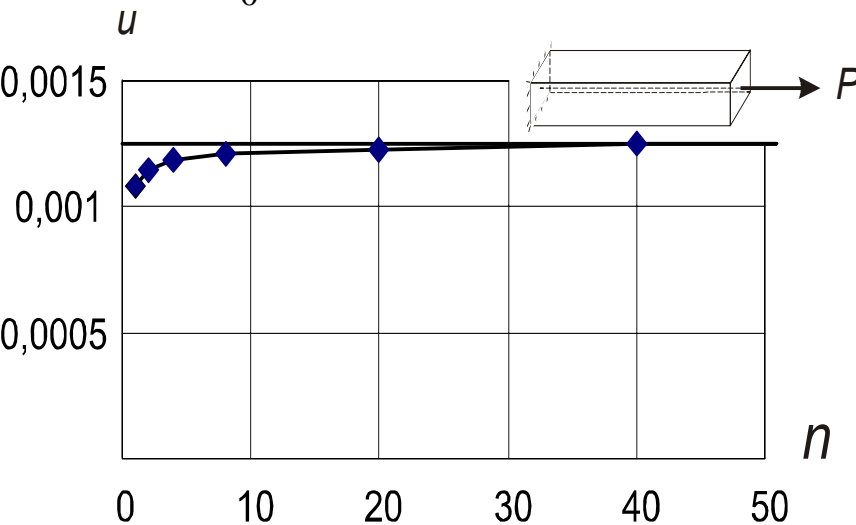
Трехмерная КЭМ

Консольная балка под действием сосредоточенной нагрузки

Растягивающая осевая сила P_x

$$\sigma_x = \frac{P_x}{a \cdot h} \quad \varepsilon_x = \frac{\sigma_x}{E} \quad (22)$$

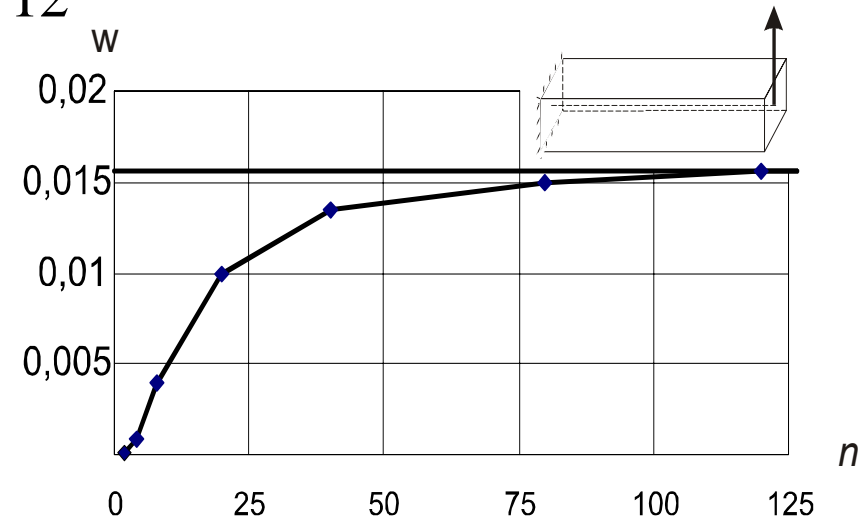
$$u_{\max} = \int_0^l \varepsilon_x dx = \frac{P_x \cdot l}{E \cdot a \cdot h}. \quad (23)$$

Поперечная сила P_z

$$w_{\max} = \frac{P_z l^3}{3EJ_y} \quad (24) \quad \sigma_{\max} = \frac{P_z l}{W_y} \quad (25)$$

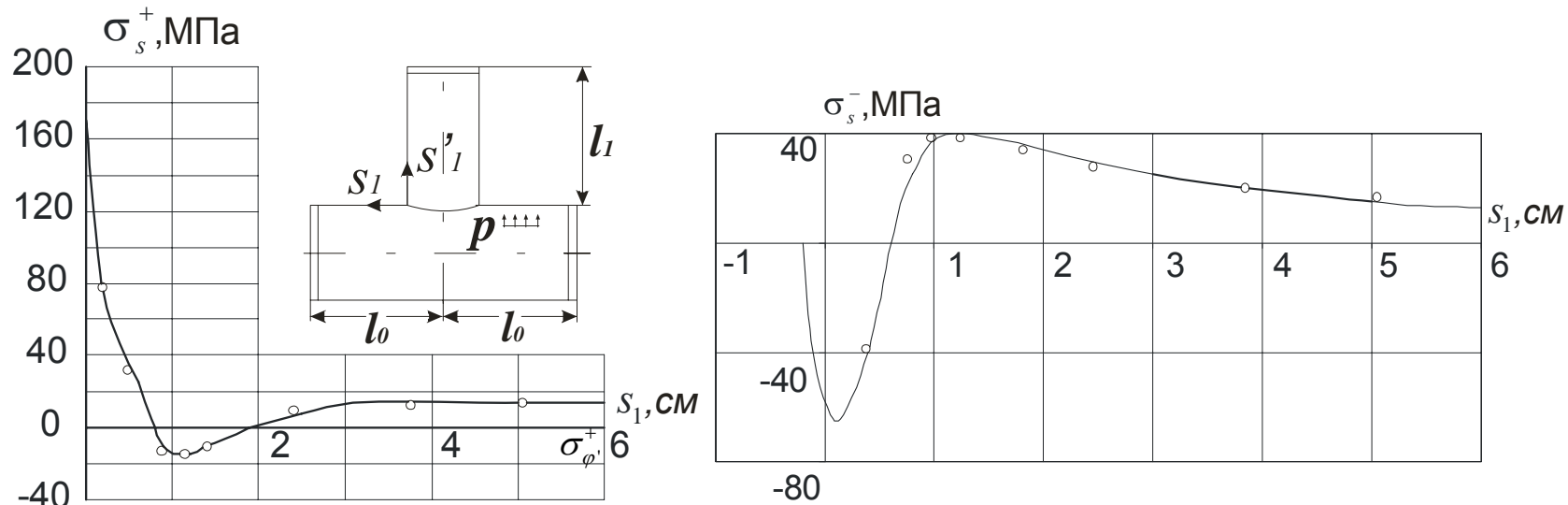
$$W_y = \frac{a \cdot h^2}{6} \quad - \text{ момент сопротивления изгибу (26)}$$

$$J_y = \frac{a \cdot h^3}{12} \quad \text{момент инерции площади поперечного сечения (27)}$$

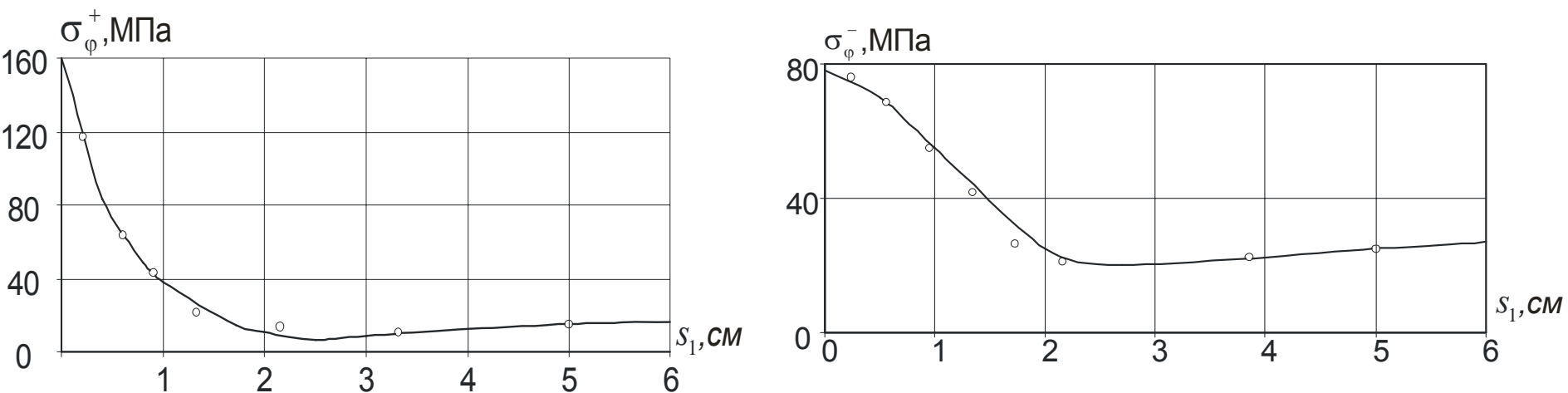


Исследование сходимости численного решения к аналитическому

Сравнение расчетных (SAIS3d) и экспериментальных результатов



Продольные напряжения на внешней σ_s^+ и внутренней σ_s^- поверхности патрубка



Окружные напряжения на внешней σ_φ^+ и внутренней σ_φ^- поверхности патрубка

1. Разработана графическая оболочка SAISdata по подготовке исходных данных в диалоговом режиме.
2. Модернизирован модуль автоматической генерации конечно-элементной модели программы SAIS по трехмерной КЭМ.
3. Создана модель трехмерного изопараметрического 8-узлового конечного элемента.
4. На базе простых классических задач выполнены тестовые расчеты для анализа сходимости конечно-элементного решения.
5. Выполнена верификация разработанной программы для расчета радиально пересекающихся цилиндрических оболочек под действием внутреннего давления путем сравнения расчетных результатов с экспериментальными данными.
6. По результатам дипломной работы в соавторстве опубликованы 2 научные статьи в научно-технических журналах, тезисы докладов трех международных научных конференций и участвовал в двух конкурсах НИРС МГИУ.